

◆海洋生物◆

基于 RNA-seq 测序的弓懒蛤(*Lutraria rhynchaena*)不同组织转录组差异研究^{*}

王宏玲^{1,2}, 陈琨², 吴斌², 潘红平¹, 廖馨^{2**}

(1. 广西大学动物科学技术学院, 广西南宁 530004; 2. 广西科学院, 广西海洋科学院(广西红树林研究中心), 广西红树林保护与利用重点实验室, 广西北海 536007)

摘要:弓懒蛤(*Lutraria rhynchaena*)是我国南方沿海重要的海水养殖贝类, 为探讨弓懒蛤不同组织的基因表达差异, 本研究采用 RNA-seq 测序技术对北部湾海域弓懒蛤 7 种组织(肌肉、外套膜、鳃、肝胰腺、虹吸管、雌性性腺和雄性性腺)进行转录组测序及生物信息学分析。结果显示, 21 个样本共获得 939 197 518 条质控后序列, 各组织质控后的碱基数为 15.39—29.26 G。测序结果经过 Denovo 组装和 ORF 查找共获得 56 773 个 Unigenes。在 5 个公共数据库 NR (Non-Redundant protein sequence database)、GO (Gene Ontology)、eggNOG(evolutionary genealogy of genes: Non-supervised Orthologous Groups)、KEGG(Kyoto Encyclopedia of Genes and Genomes) 和 SWISS-Prot 对比各注释分别得到 24 557、13 094、17 524、10 352 和 13 857 条有效注释信息。本研究获得了大量弓懒蛤组织间的差异表达基因, 丰富了弓懒蛤的基因数据库, 为更深入地了解弓懒蛤各组织功能, 进一步挖掘和开发利用弓懒蛤功能基因提供基础数据。

关键词:弓懒蛤; 组织; 高通量测序; 转录组; 生物信息学分析

中图分类号:S917 文献标识码:A 文章编号:1002-7378(2024)01-0080-13

DOI:10.13657/j.cnki.gxkxyxb.20240301.001

经济贝类是重要的食品来源, 也是海洋生态系统中不可或缺的部分。我国科研团队已经对一些重要的经济贝类开展了大量的遗传研究, 包括基因组、转录组、表观遗传和分子标记等, 如栉孔扇贝(*Chlamys farreri*)^[1]、近江牡蛎(*Crassostrea ariakensis*)^[2]、硬

壳蛤(*Mercenaria mercenaria*)^[3]、缢蛏(*Sinonovacula constricta*)^[4]等全基因组精细参考图谱的陆续发布。贝类转录组测序的研究为功能基因、分子标记开发提供了数据支撑, 加速了贝类遗传育种研究的进程: 通过转录组测序得到了温度胁迫下马氏珠母贝

收稿日期: 2024-01-05 修回日期: 2024-01-30

* 广西创新驱动发展专项(广西科技重大专项, 桂科 AA19254008-2)资助。

【第一作者简介】

王宏玲(1997—), 女, 在读硕士研究生, 主要从事海洋水产动物分子生物学研究, E-mail: 2056959342@qq.com。

【**通信作者简介】

廖馨(1982—), 女, 副研究员, 主要从事海洋生物学研究, E-mail: liaox@mangrove.org.cn。

【引用本文】

王宏玲, 陈琨, 吴斌, 等. 基于 RNA-seq 测序的弓懒蛤(*Lutraria rhynchaena*)不同组织转录组差异研究[J]. 广西科学院学报, 2024, 40(1): 80-92.

WANG H L, CHEN K, WU B, et al. Study on Transcriptome Differences in Different Tissues of *Lutraria rhynchaena* Based on RNA-seq Sequencing [J]. Journal of Guangxi Academy of Sciences, 2024, 40(1): 80-92.

(*Pinctada fucata martensi*)和缢蛏的差异表达基因,为双壳贝类对高低温胁迫的响应机制提供了理论基础^[5,6];通过转录组测序获得了泥蚶(*Tegillarca granosa*)耐低氧的候选基因^[7];利用转录组学分析可以研究贝类在不同毒性胁迫下的免疫应答机制,了解其机体抗氧化酶系统及解毒代谢机制^[8,9]。对贝类不同组织和不同发育阶段进行转录组解读,可了解其器官分化的相关基因^[10,11]和变态发育过程中的关键基因^[12]。

弓懒蛤(*Lutraria rhynchaena* Jonas, 1844, 同物异名 *Lutraria arcuata* Reeve, 1854)隶属于软体动物门(Mollusca)瓣鳃纲(Lamellibranchia)帘蛤目(Veneroida)蛤蜊科(Mactridae)懒蛤属(*Lutraria*)^[13,14]。弓懒蛤广泛分布在我国、日本、菲律宾和越南等沿海国家,在我国主要分布在广东、海南、广西和台湾沿海^[13,14],栖息于潮间带至水深 80 m 的浅海泥沙质海底,与懒蛤属的大懒蛤(*L. maxima*)、施氏懒蛤(*L. sieboldii*)和澳洲懒蛤(*L. australis*)等形态相似,在我国沿海居民皆俗称它们为象鼻螺。象鼻螺个体较大,每只成年个体质量 90—120 g,我国自 1997 年开始通过浅海开放式底播方式人工养殖象鼻螺,养殖范围主要集中在南方,2020 年北海的象鼻螺产量达 6 万多吨^[15]。2022 年,北海象鼻螺获得了中华人民共和国农产品地理标志登记证书(中华人民共和国农业农村部公告第 532 号)。

因弓懒蛤具有可观的经济价值,国内外学者对其开展了多方面的研究,国外关于弓懒蛤的研究主要由越南学者发表。越南学者发布了基于第三代纳米孔和第二代 Illumina NovaSeq6000 平台测序组装的弓懒蛤基因组草图,基因组大小为 545—547 Mbp^[16],但此后未有基于该基因组的拓展研究发表。研究者对越南弓懒蛤的地理分布、繁育技术、线粒体基因组、微卫星等也做了一些报道^[17-19]。目前国内关于弓懒蛤研究的报道主要局限于苗种繁育技术^[20]、受精卵的细胞学观察^[21]、重金属响应^[22]等。有研究者对弓懒蛤使用了高浓度的镉胁迫,发现其不同组织对重金属的胁迫响应存在显著差异,但是并未进行分子生物学层面的深入研究。总体来说,国内目前对弓懒蛤的遗传育种、功能基因表达等方面研究还处于起步阶段。

本研究以弓懒蛤的肌肉(斧足)、外套膜、鳃、肝胰腺、虹吸管、雌性性腺及雄性性腺 7 种组织为研究对象,采用 RNA-seq 测序技术进行转录组测序,通过数

据组装、各组织表达量的比较和对差异表达基因注释获得弓懒蛤各组织的基因表达信息,为进一步开展弓懒蛤遗传育种、分子标记、功能基因的挖掘等方面研究提供数据参考。

1 材料与方法

1.1 材料

测序用的弓懒蛤贝(其贝壳见图 1)采集于北海市金不换水产有限公司位于广西北海市侨港镇(109°9'30.85"N, 21°18'2.92"E)的天然海域养殖场,均为成年活贝,平均湿重为(109.4±30.6) g,壳长为(92.5±17.8) mm,壳高为(47.1±3.8) mm,壳宽为(31.9±3.9) mm。取斧足、外套膜、鳃、肝胰腺、虹吸管、雌性性腺及雄性性腺 7 种组织,每种组织取 9 个个体样本,设置 3 个生物学重复,每 3 种组织样本混合后提取 RNA。实时荧光定量 PCR(Real Time qPCR)验证实验用的弓懒蛤贝购自北海市南珠市场。

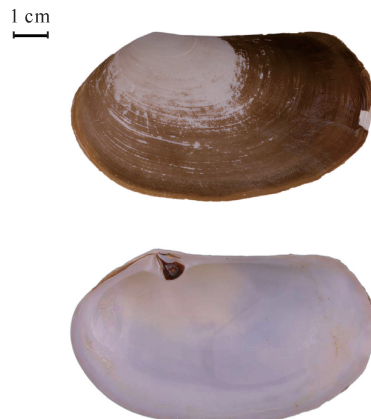


图 1 弓懒蛤贝壳

Fig. 1 Shell of *L. rhynchaena*

1.2 方法

1.2.1 RNA 的提取及检测

使用 MiniBEST 通用 RNA 提取试剂盒(TAKARA 公司)提取各组织总 RNA,提取步骤按照试剂盒说明书进行。使用 NanoDrop 分光光度计(Thermo Fisher Scientific 公司)检测总 RNA 纯度,使用 Qubit 2.0 (Thermo Fisher Scientific 公司)检测总 RNA 浓度,琼脂糖凝胶电泳检测总 RNA 完整性。

1.2.2 文库构建及转录组测序

检测合格的总 RNA 送上海凌恩生物科技有限公司,通过带有 Oligo (dT) 的磁珠富集具有 polyA 尾巴的真核 mRNA 后,采用 Illumina Truseq RNA

sample prep Kit 方法完成 7 种组织共 21 个样品的文库构建, 经质检合格后开展基于 Illumina HiSeq 2500 的 RNA-seq 测序。

1.2.3 生物信息学分析

使用 FastQC 对测序得到的原始数据进行质量评估, 使用 trimmomatic 软件(v0.36)去除 reads 接头序列、将序列末端(3' 端)质量较低(质量值小于 20)的碱基修剪掉, 去除含 N 比率超过 10% 的 reads, 舍弃长度小于 75 bp 的序列, 过滤后得到高质量的测序数据(Clean reads)。利用 Trinity 软件(v2.8.6)进行无参考转录组从头组装得到非冗余基因(Uni-gene)并预测开放阅读框(ORF)。用 Salmon(v1.1.0)软件将质控后得到的高质量序列和拼接结果进行比对(Mapping)。将组装的序列分别在 NR(Non-Redundant protein sequence database)、GO(Gene Ontology)、eggNOG(evolutionary genealogy of genes: Non-supervised Orthologous Groups)、KEGG(Kyoto Encyclopedia of Genes and Genomes)及 Swiss-Prot 等数据库中进行基因功能注释。

使用 RESM v1.3.3 软件计算各转录本在样本

中的表达丰度, 根据 RPKM(Reads Per Kilobase per Million mapped reads)判断基因表达量, 以 $P < 0.05$ 和 $|\log_2(\text{FoldChange})| \geq 1$ 为标准筛选差异表达基因(Differentially Expressed Genes, DEGs)。通过对不同组织之间 DEGs 进行 GO 和 KEGG 通路富集分析, 确定 DEGs 参与的生化过程和信号转导途径。

1.2.4 实时荧光定量 PCR 验证分析

随机选取 9 个差异基因进行实时荧光定量 PCR 实验, 以判断 RNA-seq 数据结果是否可信。经前期实验筛选内参后, 以 β -actin 作为内参基因。利用 Primer premier 5.0 软件设计引物如表 1 所示。使用 PrimeScriptTM RT reagent Kit with gDNA Eraser 试剂盒(TAKARA 公司)将总 RNA 反转录合成 cDNA。以反转录产物为模板, 使用 TB Green Premix Ex Taq II(Tli RNaseH Plus)试剂盒(TAKARA 公司)在 QuantStudioTM 3 实时荧光定量 PCR 仪(Thermo Fisher Scientific 公司)上进行基因表达相对定量分析。PCR 反应体系为 20 μL , PCR 程序参照产品说明书进行。样品进行 3 次生物学重复和 3 次技术重复, 用 $2^{-\Delta\Delta\text{Ct}}$ 方法计算基因的相对表达量。

表 1 实时荧光定量 PCR 引物

Table 1 Real-time fluorescent quantitative PCR primers

基因注释 Gene annotation	差异表达基因(序列号) DEGs (ID)	正向引物序列(5'→3') Forward primer sequence (5'→3')	反向引物序列(5'→3') Reverse primer sequence (5'→3')
β -actin	Reference gene	TGTTCCAGCCATCTTCCTCGG	TGCATTCTGTCGGCAATACCTGG
Paramyosin-like isoform X4	TRINITY_DN24180_c2_g1	CCTGTTATCGTGTGGACGCAGTC	GGCGATGAGCCCCTGTAGACATT
Uncharacterized protein LOC128233073 gene	TRINITY_DN32671_c2_g1	AAACATGTGGTCACGCAAAGGACG	CCCAGGGATGGCAAAAGTCTCT
Beta-tubulin family protein	TRINITY_DN39293_c3_g10	TGGTGCTGGCAACAACACTGGC	CCACCACCGAGGGAGTGAGTTAGC
Myosin, essential light chain, adductor muscle-like	TRINITY_DN41770_c1_g1	ATGAGCGGTTGACTGAAGGCG	AACGATGGCATTGTTGGTTATG
Cytochrome b	TRINITY_DN43434_c17_g1	GGGGATTGGACGAATGGTTAACG	GCCTATCAAGCTCGACGGGTCT
Uncharacterized protein LOC123546623	TRINITY_DN26713_c0_g5	TTTCAGATTTGCTCTTCGGCG	GCAACCATCCTTCACTGAGCG
Unknown gene	TRINITY_DN1528_c0_g1	ACGAAGGGCAAATGTAAAGACCG	CAGCTGCCGTTTCATTGGTT
Unknown gene	TRINITY_DN11355_c0_g1	AAAACAGCCTTCGAATCAGGGGT	TCCGTGCTTCTGCAACCACAC
Hypothetical protein KUTeg_013128	TRINITY_DN10044_c0_g2	TCACAAGACACAACGGTACAGGGG	CATTCGTGTTCGGTCCAGCATTC

2 结果与分析

2.1 转录组测序结果

2.1.1 测序数据及转录本拼接

测序原始数据及质控数据统计结果如表2所示。原始数据、有效数据、有效碱基为3个生物学重复样品之和,质控后Q20和Q30碱基比例为3个生物学

表2 7种组织转录组测序数据信息

Table 2 Transcriptome sequencing reads of seven tissues

样品 Sample	原始数据 Raw reads	有效数据 Clean reads	有效碱基/G Clean bases/G	Q20 碱基比例/% Q20 base ratio/%	Q30 碱基比例/% Q30 base ratio/%
Muscles	162 017 978	147 372 742	21.66	97.86	94.17
Mantles	156 425 372	142 236 382	20.92	97.28	93.27
Gills	124 370 610	110 431 134	16.05	97.13	92.54
Hepatopancreases	120 987 368	106 082 674	15.39	96.93	91.96
Siphons	124 436 732	112 546 950	16.52	97.86	93.92
Female gonads	132 136 526	122 619 518	18.12	98.22	94.97
Male gonads	218 997 666	197 908 118	29.26	97.75	93.85

2.1.2 基因功能注释

拼接得到56 773条Unigene,N50为1 373,平均长度为1 033.12 bp。将预测基因的蛋白序列在NR、GO、eggNOG、KEGG和SWISS-Prot等数据库中比对,分别得到24 557、13 094、17 524、10 352和13 857条注释信息(各数据库注释韦恩图见图2)。根据GO注释将基因功能分为3大类别:生物过程(BP)、细胞成分(CC)和分子功能(MF),细分为45个分支(图3)。通过eggNOG数据库进行基因对应的COG(Clusters of Orthologous Groups of proteins)注释,按注释结果进行功能分类得到了25个功能类别(图4),其中注释基因数量最多的功能为信号转导机制,其次是功能未知的基因,然后是翻译后修饰、蛋白转运及伴侣蛋白。通过KEGG数据库得到10 352条注释信息,涵盖了5个功能大类:新陈代谢、遗传信息处理、环境信息处理、细胞过程和有机系统的生物过程通路(图5)。通过SWISS-Prot数据库得到13 857条注释信息,注释结果可用作基因功能描述的参考。经5个数据库比对共有24 593条Unigene获得注释,注释率为43.32%。

重复样品的平均值。共测得1 039 382 252条raw reads,质控过滤后得到939 197 518条clean reads,各组织有效碱基数从15.39至29.26 G不等。各组织Phred数值分别大于20、30的碱基占总体碱基的百分比均分别大于等于96.93%和91.96%,数据质量达到后续分析条件。

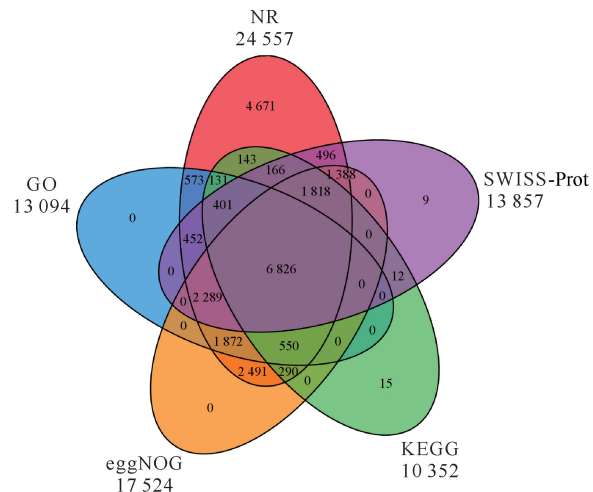


图2 5个数据库注释基因数量韦恩图

Fig. 2 Venn diagram of the number of annotated Uni-genes in five databases

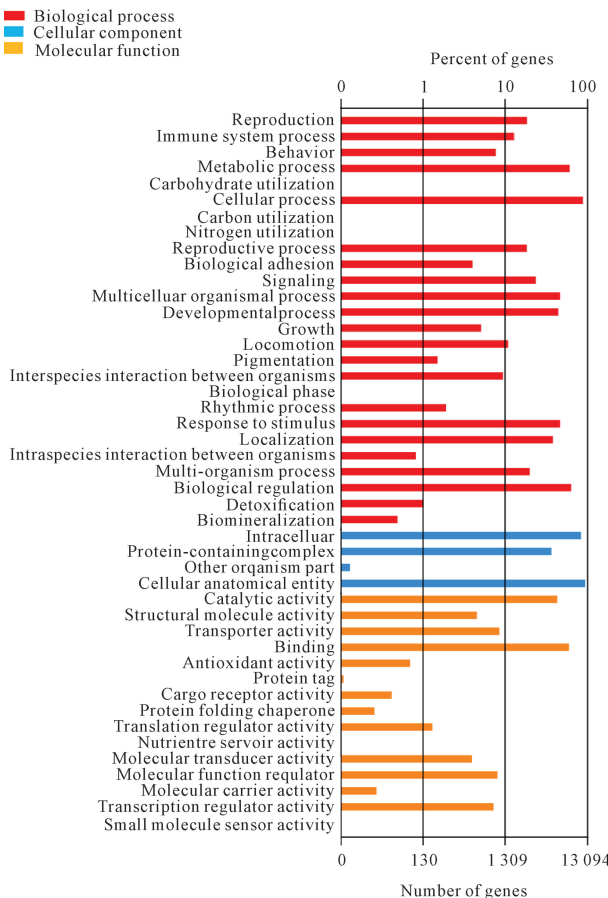


图 3 GO 注释基因功能分类

Fig. 3 GO functional classification of annotated genes

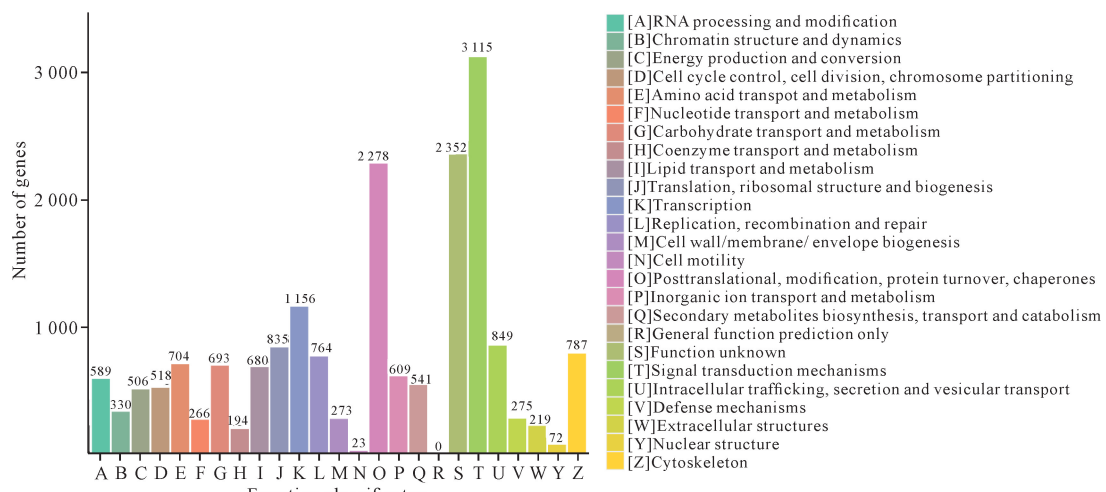


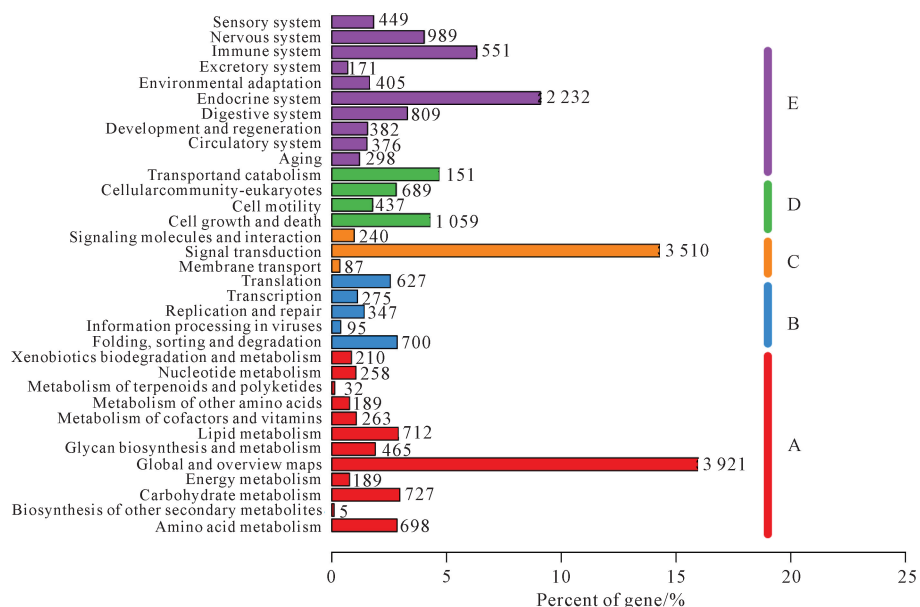
图 4 COG 注释基因功能分类

Fig. 4 COG functional classification of annotated genes

2.2 弓颌蛤不同组织间的差异分析

2.2.1 不同组织基因表达分析

RPKM 能够消除基因长度和测序数据分析中的基因表达水平估算产生的影响。基于 RPKM 估算基因转录本丰度,7 种组织中基因表达数量由多到少依次为肝胰腺>鳃>外套膜>雄性性腺>肌肉>虹吸管>雌性性腺(图 6)。在此基础之上,对雌性性腺与雄性性腺、鳃与肝胰腺及各组织与肌肉组织之间的表达基因进行差异比对,肝胰腺 vs 肌肉组织获得差异基因数量最多,有 11 074 条,其次是鳃 vs 肌肉组织有 8 938 条,鳃 vs 肝胰腺有 6 896 条 DEGs,虹吸管 vs 肌肉组织有 5 174 条 DEGs,雄性性腺 vs 肌肉组织有 5 128 条 DEGs,外套膜 vs 肌肉组织有 2 398 条 DEGs,雌性性腺 vs 雄性性腺有 703 条 DEGs,雌性性腺 vs 肌肉组织有 658 条 DEGs,其各自上调与下调的差异基因数量如图 7 所示。



A: Metabolism; B: Genetic information processing; C: Environmental information processing; D: Cellular processes; E: Organismal systems.

图5 KEGG注释基因功能分类及数量

Fig. 5 KEGG functional classification and number of annotated genes

2.2.2 组织间差异基因的GO富集分析

对差异基因进行GO注释,各组织间DEGs的GO条目富集在生物过程、细胞成分和分子功能3大类上的数量分布情况如表3所示。

雌性性腺 vs 雄性性腺的DEGs富集程度较显著的GO条目主要包括纤毛移动(Cilium movement)、轴动蛋白复合体组装(Axonemal dynein complex assembly)、基因丝装配(Axoneme assembly)、9+2运动纤毛(9+2 motile cilium)和基因丝(Axoneme)。鳃 vs 肝胰腺的DEGs富集程度较显著的GO条目主要为甘露糖结合(Mannose binding)、磺基转移酶活性(Sulfotransferase activity)、角质细胞增殖的调控(Regulation of keratinocyte proliferation)和碳水化合物结合(Carbohydrate binding)。雌性性腺 vs 肌肉组织的DEGs富集程度较显著的GO条目主要为内质网靶向蛋白(Protein targeting to ER)、内质网蛋白定位的建立(Establishment of protein localization to endoplasmic reticulum)及游离胞浆核糖体(Cytosolic ribosome)。鳃 vs 肌肉组织的DEGs富集程度显著的GO条目为共质体(Symplast)和盐胁迫响应(Response to salt stress)。雄性性腺 vs 肌肉组织DEGs富集的GO条目主要有多聚核糖体(Polysomal ribosome)、SRP依赖协同翻译蛋白靶向膜(SRP-dependent cotranslational protein targeting to membrane)、色素体(Plastid)及协同翻译蛋白靶向膜(Co-

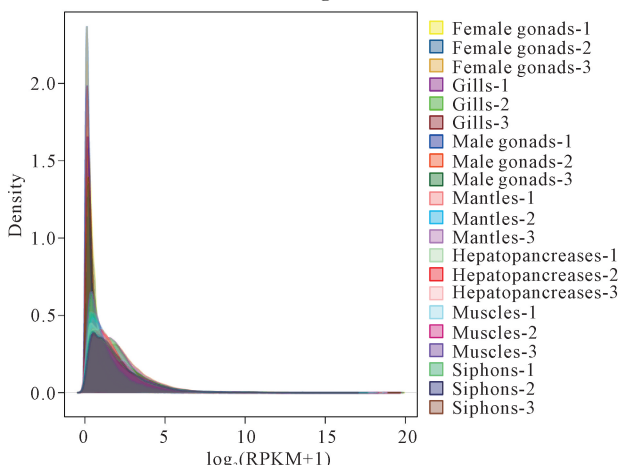


图6 不同样品表达水平密度曲线

Fig. 6 Expression level density curves of different samples

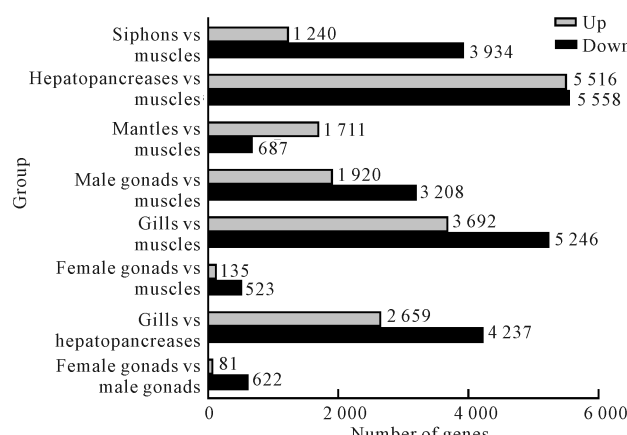


图7 组织间差异基因数量

Fig. 7 Number of DEGs between tissues

translational protein targeting to membrane)。外套膜 vs 肌肉组织的 DEGs 富集程度显著的 GO 条目主要有凋亡细胞的识别 (Recognition of apoptotic cell)、伪足膜 (Pseudopodium membrane) 和吞噬作用、识别 (Phagocytosis, recognition)。肝胰腺 vs 肌

表 3 差异表达基因的 GO 富集数量

Table 3 GO enrich number of DEGs

组别 Group	GO 富集数量 GO enrich number	生物过程富集数量 Biological process enrich number	细胞成分富集数量 Cellular component enrich number	分子功能富集数量 Molecular function enrich number
Female gonads vs male gonads	150	98	36	16
Gills vs hepatopancreases	1 502	1 159	111	232
Female gonads vs muscles	270	184	70	16
Gills vs muscles	1 368	931	235	202
Male gonads vs muscles	846	562	178	106
Mantles vs muscles	487	363	57	67
Hepatopancreases vs muscles	1 143	812	179	152
Siphons vs muscles	1 195	818	211	166

2.2.3 组织间差异基因的 KEGG 富集分析

对弓懒蛤各组织转录组的 DEGs 经过 KEGG 通路注释分析显示(图 8), 雌性性腺 vs 肌肉组织差异基因所注释的显著富集($P < 0.05$)的通路仅 6 条, 富集的 DEGs 最多的通路是核糖体 (Ribosome), 其次是钙信号通路 (Calcium signaling pathway)。此外, 在心肌收缩 (Cardiac muscle contraction)、间隙连接 (Gap junction)、蛋白质的消化和吸收 (Protein digestion and absorption)、氧化磷酸化通路 (Oxidative phosphorylation) 均有差异基因显著富集。雄性性腺 vs 肌肉组织差异基因所注释的显著富集 ($P < 0.05$) 的通路有 30 条, 其中富集 DEGs 较多的通路主要为次生代谢物的生物合成 (Biosynthesis of secondary metabolites)、核糖体 (Ribosome)、不同环境下微生物的代谢 (Microbial metabolism in diverse environments) 及马达蛋白 (Motor proteins) 等通路, 核糖体、马达蛋白、氧化磷酸化和碳代谢等通路的富集程度较高。雌性性腺 vs 雄性性腺富集通路中, 显著富集 ($P < 0.05$) 的通路只有 8 条, 富集 DEGs 数量最多的通路是生热作用 (Thermogenesis), 其次是与能量代谢相关的氧化磷酸化通路。其中逆行内源性大麻素信号通路 (Retrograde endocannabinoid signaling) 仅在雌雄性腺间的差异基因中存在显著富集, 因此该通路可能参与了弓懒蛤性腺的分化过程。

作为参与运动的肌肉类组织, 外套膜、虹吸管与肌肉组织间的差异基因主要在生物活动、生物合成及代谢相关的通路存在显著富集。外套膜 vs 肌肉组织

肉组织的 DEGs 富集程度较显著的 GO 条目包括共质体、色素体和外封结构 (External encapsulating structure)。虹吸管 vs 肌肉组织的 DEGs 富集程度较显著的 GO 条目有质体间质 (Plastid stroma) 和多聚核糖体。

差异基因所注释的显著富集 ($P < 0.05$) 的通路有 26 条, 各通路富集的 DEGs 数量较均匀, 其中富集程度最强的有光传导 (Phototransduction)、粘蛋白 O 型-聚糖生物合成 (Mucin type O-glycan biosynthesis)、间隙连接、嗅觉转导 (Olfactory transduction) 及唾液分泌 (Salivary secretion) 等通路。虹吸管 vs 肌肉组织差异基因所注释的显著富集 ($P < 0.05$) 的通路有 33 条, 其中富集 DEGs 最多的主要有代谢通路 (Metabolic pathways)、次生代谢物的生物合成和不同环境下微生物的代谢。富集程度最高的通路主要为碳代谢 (Carbon metabolism)、氨基酸的生物合成 (Biosynthesis of amino acids) 及核糖体。

鳃 vs 肌肉组织差异基因所注释的显著富集 ($P < 0.05$) 的通路有 40 条, 其中富集 DEGs 最多的通路主要有次生代谢物的生物合成、不同环境下微生物的代谢、碳代谢等通路。肝胰腺 vs 肌肉组织差异基因所注释的显著富集 ($P < 0.05$) 的通路有 35 条, 其中富集 DEGs 最多且富集程度强的通路主要为代谢通路、次生代谢物的生物合成、不同环境下微生物的代谢和吞噬体 (Phagosome)。鳃 vs 肝胰腺差异基因所注释的显著富集 ($P < 0.05$) 的通路有 63 条, 其中富集 DEGs 最多的通路主要是代谢通路, 其次是吞噬体, 在唾液分泌、吞噬体及光传导等通路的富集程度较其他通路更显著。根据差异基因富集的通路分析, 弓懒蛤的鳃和肝胰腺主要负责机体的消化吸收、免疫应答等重要生理活动。

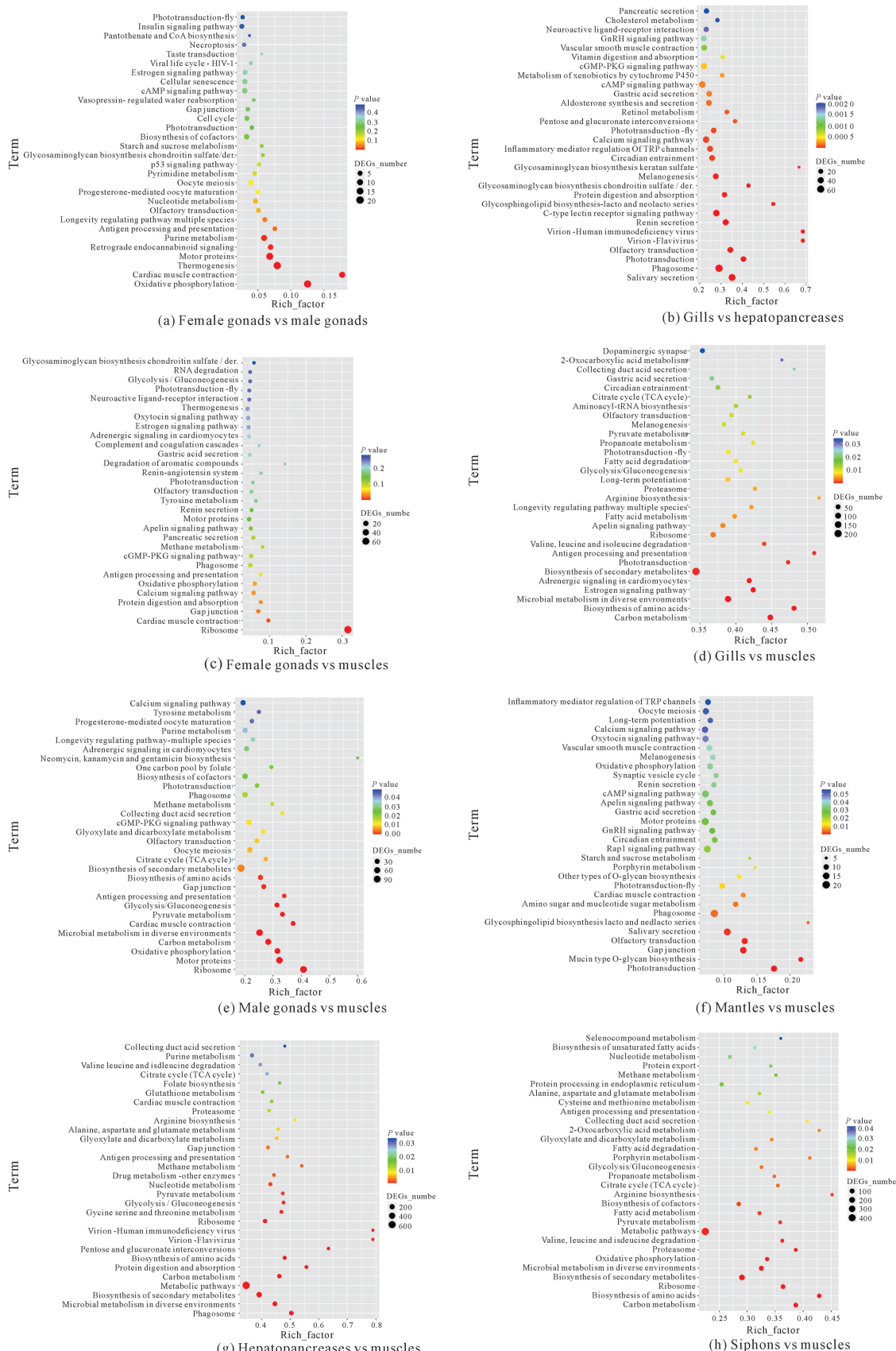


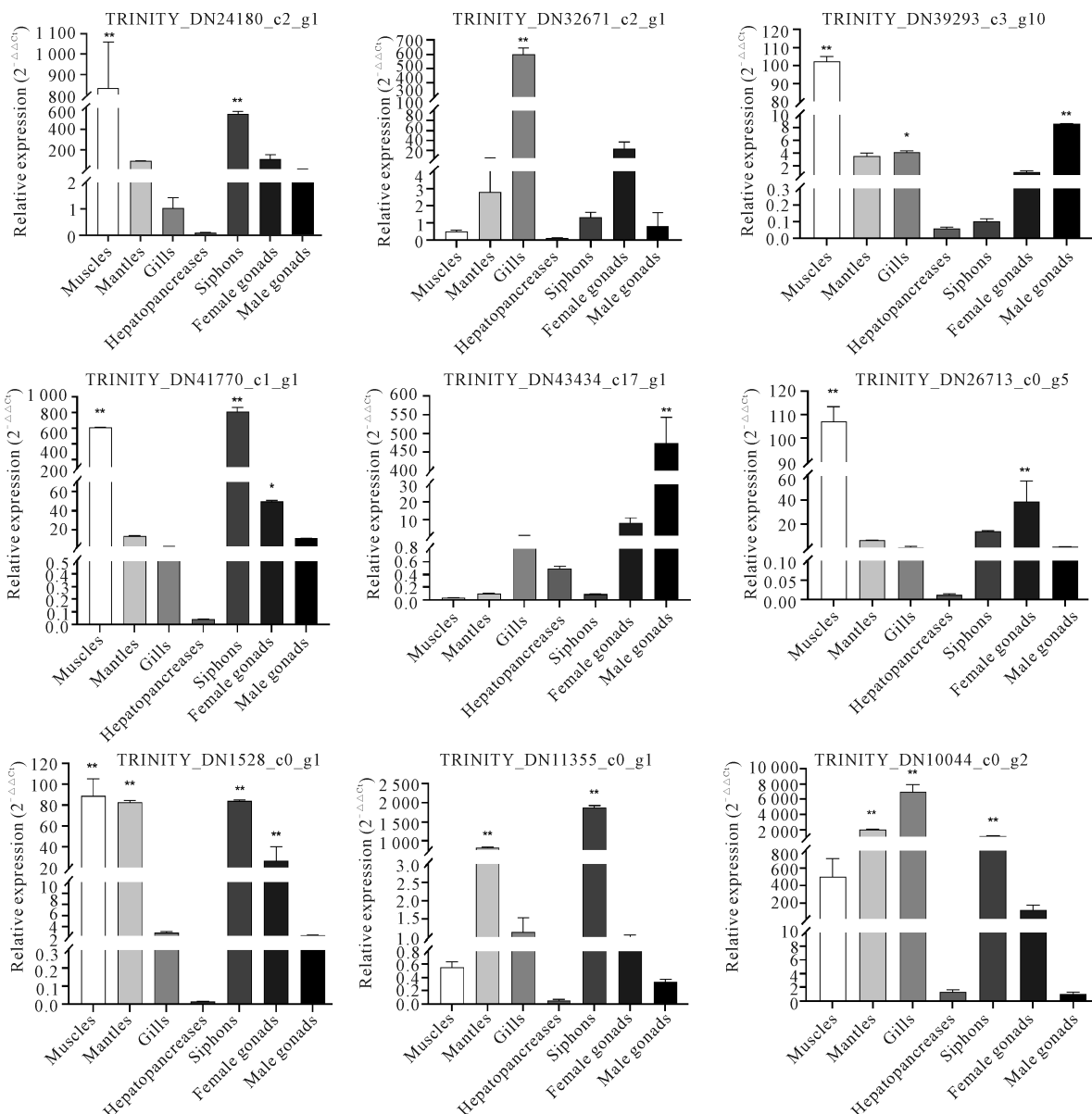
图 8 差异表达基因 KEGG 富集通路气泡图

Fig. 8 KEGG enrichment pathway bubble maps of DEGs

2.2.4 实时荧光定量 PCR 验证

为验证所选组织转录组测序结果的可靠性,从获得的全部 DEGs 中随机挑选了 9 个进行实时荧光定量 PCR 验证,通过 $2^{-\Delta\Delta Ct}$ 计算出相对表达量,结果显示 TRINITY_DN32671_c2_g1 仅在鳃中具有极显著

表达,TRINITY_DN24180_c2_g1、TRINITY_DN39293_c3_g10、TRINITY_DN41770_c1_g1 等基因在弓懒蛤肌肉组织中具有极显著表达(图 9),与测序结果(表 4)基本趋于一致,表明弓懒蛤各组织转录组测序结果可信。



* indicates that the tissue relative expression was significantly different from that of the control group ($P < 0.05$); ** indicates that the tissue relative expression have extremely significant difference with the control group ($P < 0.01$).

图 9 9 个随机挑选的差异基因在 7 种组织中的相对表达量的实时荧光定量 PCR 验证(内参为 β -actin)

Fig. 9 Relative expression levels of selected nine differential genes randomly in seven tissues verified by real-time fluorescence quantitative PCR (normalized to β -actin)

表4 9个随机挑选的差异基因的RPKM测序结果

Table 4 RPKM sequencing results of 9 randomly selected DEGs

差异基因 DEGs	肌肉 Muscles	外套膜 Mantles	鳃 Gills	肝胰腺 Hepatopan- creases	虹吸管 Siphons	雌性性腺 Female gonads	雄性性腺 Male gonads
TRINITY_DN24180_c2_g1	6 560.19± 2 838.42	837.23± 226.67	62.30± 17.55	6.78± 0.69	5 588.52± 3 136.44	13.59± 10.64	5.95± 5.10
TRINITY_DN32671_c2_g1	0.02± 0.03	0.47± 0.64	212.81± 43.50	0.02± 0.03	0.06± 0.09	0.10± 0.07	0.33± 0.37
TRINITY_DN39293_c3_g10	1 065.38± 524.85	49.23± 27.13	193.32± 30.73	286.46± 139.35	4.00± 3.63	2.38± 1.69	12.68± 10.45
TRINITY_DN41770_c1_g1	13 918.97± 4 153.05	1 883.14± 872.16	133.45± 18.98	19.24± 5.87	31 367.27± 8 587.22	35.22± 28.44	22.71± 23.53
TRINITY_DN43434_c17_g1	127.87± 20.63	28 251.31± 39 790.45	759.15± 787.38	90 753.38± 111 305.82	11 379.46± 15 953.93	270.58± 367.23	749 182.67± 18 057.58
TRINITY_DN26713_c0_g5	1 236.06± 532.67	75.63± 53.45	0.69±0.30	0.48±0.14	71.81±24.66	2.77±2.82	1.94±1.87
TRINITY_DN1528_c0_g1	15.12± 7.29	2.50±2.01	0.26± 0.37	0.00±0.00	3.86±0.51	0.00±0.00	0.00±0.00
TRINITY_DN11355_c0_g1	1.30±0.68	353.29± 33.60	4.60±3.18	0.46±0.44	7 776.53± 4 838.19	0.14±0.20	0.00±0.00
TRINITY_DN10044_c0_g2	189.32± 26.18	194.49± 75.46	471.82± 70.20	1.20±0.40	109.29± 42.27	0.77±0.57	0.75±0.54

3 讨论

3.1 转录组技术在双壳贝类中的应用

多组学技术和分子生物学技术已经广泛应用于水产品的育种、繁殖、病害鉴定、杂交种鉴定等方面。在我国贝类养殖中具有传统优势的物种,如牡蛎、扇贝等,均已构建有丰富的全基因组、转录组、蛋白组、小RNA组及表观遗传组资源库。对经济贝类进行多组学资源库的构建和研究对推动养殖业的优良种选育和产业的可持续发展有着重要的作用。

转录组可揭示特定组织在特定状态下的基因表达情况,多应用于组织间差异、环境胁迫或毒理条件下的差异表达和功能基因筛选。有研究者对虾夷扇贝(*Mizuhopecten yessoensis*)的外套膜进行转录组测序,获得16 816个Unigenes^[23];对海湾扇贝(*Argopecten irradians*)发育阶段个体进行转录测序,获得70 929个Unigenes^[24];从牛角江珧(*Atrina pectinata*)的外套膜、鳃、性腺、后闭壳肌和肝胰腺5个组织中提取RNA,转录测序获得127 263个Unigenes^[25]。

弓懒蛤作为我国南方重要的养殖经济贝类,是北海市的地理标志农产品,其多组学研究还比较匮乏。本研究利用RNA-seq技术对成体弓懒蛤的7种组织进行转录组测序,旨在丰富弓懒蛤的基因数据库资

源。虽然NCBI上已有越南学者上传的基于肌肉组织测序的弓懒蛤基因组,但因懒蛤属的几个种形态学极为相似较难区分,因此本文对测序数据采用无参考转录组从头拼接的方法进行组装。对7种不同组织的转录组进行测序分析,比研究单一组织或较少组织在胁迫条件下的基因变化获得的数据更加全面和可信,也为后期进一步开展弓懒蛤遗传、生理、养殖等研究建立数据库资源。

本研究通过RNA-seq技术共获得939 197 518条clean reads。组装及ORF查找后获得了56 773个Unigenes,N50为1 373,平均长度1 033.12 bp,将其放入5个公共数据库中进行对比,有24 593条基因得到注释信息。通过各组织间差异基因的比较发现,肝胰腺vs肌肉组织和鳃vs肌肉组织的差异基因数量较多。

3.2 KEGG通路

雌性性腺vs肌肉组织富集的胰岛素信号通路(Insulin signaling pathway)和卵母细胞成熟(Oocyte meiosis)均与弓懒蛤性腺的发育相关,这两条通路在纵肋织纹螺(*Nassarius variciferus*)^[26]和钝缀锦蛤(*Tapes conspersus*)^[27]中也被提出与性腺发育有关。鳃vs肝胰腺和鳃vs肌肉组织之间在唾液分泌、胃酸分泌通路、碳水化合物、蛋白质的消化吸收等通路有显著富集,这表明鳃是弓懒蛤的消化器官之一。肝胰

腺 vs 鳃及肝胰腺 vs 肌肉组织间存在吞噬体、病毒体-黄病毒、TRP 通道的炎症介质调节和药物代谢-其他酶等通路的显著富集, 可证明肝胰腺是负责抵抗疾病、免疫和解毒的关键组织, 且经对比在肝胰腺中存在甘氨酸、丝氨酸、苏氨酸、丙氨酸、天冬氨酸和谷氨酸等多种必需氨基酸的代谢通路。外套膜与肌肉组织存在光传导通路的富集, 因此推测外套膜会对外界光照强度刺激产生应答, 此外, 贝类外套膜中表达的基因参与色素沉着、金属转录和免疫^[28], 在本研究中, 参与黑色素生成的关键限速酶的酪氨酸酶 (Tyrosinase)^[29,30]在外套膜中显著高表达。

3.3 功能注释

在不同物种的同一组织、同一物种的不同组织之间的转录组表达往往存在相似之处也存在差异, 本次对所获得的基因和两两组织间的 DEGs 进行 GO 功能注释, 结果表明均在细胞过程 (Cellular process)、生物调节 (Biological regulation)、细胞结构体 (Cellular anatomical entity)、结合 (Binding) 等功能上有较多基因富集, 这与泥蚶^[7]、钝缓锦蛤^[27] 和缢蛏^[31] 等贝类具有相似性。本研究弓彎蛤注释率为 43.32%, 与大部分双壳贝类注释率相当, 但与其他研究较深的常见经济动物相比, 注释率较低, 这表明在贝类中仍有许多基因或序列的功能等待发掘。

双壳贝类对重金属镉暴露有显著的物种、时间和剂量效应的差异^[32], 本研究中, 参与贝类重金属镉胁迫响应的抗氧化酶系的相关基因如谷胱甘肽过氧化物酶 (Glutathione peroxidase)、硫氧还蛋白 (Thioredoxin)、超氧化物歧化酶 (Superoxide dismutase)、金属硫蛋白 (Metallothionein)、谷胱甘肽硫转移酶 (Glutathione S-transferase)、过氧化氢酶 (Catalase)、谷氧还蛋白 (Glutaredoxin) 等基因在鳃、肝胰腺、外套膜和虹吸管有较高表达量。贝类免疫主要以体液免疫和血细胞免疫的方式进行^[33], 在本研究的结果中, 参与体液免疫的溶酶体 (Biogenesis of lysosome-related organelles complex)、toll 样受体 (toll-like receptor)、髓样分化因子 (Myeloid differentiation primary response 88)、同种异体移植炎症因子 (Allograft inflammatory factor) 等相关基因以及凝集素 (Lectin) 等多集中于鳃、肝胰腺和外套膜表达, 而血细胞免疫相关的基因如巨噬细胞相关基因和受体等多集中分布于鳃和外套膜中。

通过对转录组数据的分析, 本研究在弓彎蛤的雌雄性腺、肌肉组织、鳃和肝胰腺中分别得到了大量与

弓彎蛤性状、生长发育、生理代谢及免疫调节相关的通路及功能基因, 但这些通路和基因在弓彎蛤各组织内具体的表达和调控机制仍待进一步研究。

4 结论

多组学研究在经济贝类的遗传育种等方面发挥着重要作用。本研究基于第二代高通量 RNA-seq 测序技术获得我国南方一种重要的养殖贝类弓彎蛤的转录组序列数据, 通过组装拼接得到了 56 773 条预测基因。利用 BLAST 软件比对 NR、GO、eggNOG、KEGG 和 SWISS-Prot 数据库, 进行了功能基因注释, 共有 24 593 条基因得到注释。通过组织间的两两对比获得了雌性性腺 vs 雄性性腺 (703 条)、鳃 vs 肝胰腺 (6 896 条)、雌性性腺 vs 肌肉 (658 条)、鳃 vs 肌肉 (8 938 条)、雄性性腺 vs 肌肉 (5 128 条)、外套膜 vs 肌肉 (2 398 条)、肝胰腺 vs 肌肉 (11 074 条) 和虹吸管 vs 肌肉组织 (5 174 条) 的差异表达基因。对各组之间 DEGs 进行 GO 注释和 KEGG 富集分析, 讨论了各组之间可能存在的功能差异。本研究为开展弓彎蛤分子遗传学研究提供了基因资源, 也为进一步开展弓彎蛤功能基因挖掘、遗传育种研究和分子标记的开发提供了基础参照数据。

参考文献

- [1] LI Y L, SUN X Q, HU X, et al. Scallop genome reveals molecular adaptations to semi-sessile life and neurotoxins [J]. Nature Communications, 2017, 8(1):1721.
- [2] WU B, CHEN X, YU M J, et al. Chromosome-level genome and population genomic analysis provide insights into the evolution and environmental adaptation of Jinjiang oyster *Crassostrea ariakensis* [J]. Molecular Ecology Resources, 2022, 22(4):1529-1544.
- [3] SONG H, GUO X M, SUN L N, et al. The hard clam genome reveals massive expansion and diversification of inhibitors of apoptosis in Bivalvia [J]. BMC Biology, 2021, 19(1):15.
- [4] RAN Z S, LI Z Z, YAN X J, et al. Chromosome-level genome assembly of the razor clam *Sinonovacula constricta* (Lamarck, 1818) [J]. Molecular Ecology Resources, 2019, 19(6):1647-1658.
- [5] WANG Q H, LIU Y, ZHENG Z, et al. Adaptive response of pearl oyster *Pinctada fucata martensii* to low water temperature stress [J]. Fish & Shellfish Immunology, 2018, 78(7):310-315.
- [6] 孔祥辉, 王莎莎, 董迎辉, 等. 缢蛏急性高温胁迫应答主

- 要候选基因的表达特征分析[J].渔业科学进展,2022,43(2):194-203.
- [7] 张阳,金铭,刘宏星,等.泥蚶低氧胁迫后血细胞转录组及耐低氧相关基因的筛选与分析[J].海洋科学,2023,47(1):34-44.
- [8] MOREIRA R,BALSEIRO P,PLANAS J V,et al. Transcriptomics of *in vitro* immune-stimulated hemocytes from the Manila clam *Ruditapes philippinarum* using high-throughput sequencing [J]. PLoS One,2012,7(4):e35009.
- [9] ZHANG J J,LI H J,QIN Y J,et al. Identification of functional genes involved in Cd²⁺ response of Chinese surf clam (*Mactra chinensis*) through transcriptome sequencing [J]. Environmental Toxicology and Pharmacology, 2016,41:113-120.
- [10] LI H L,LIU J G,HUANG X T,et al. Characterization, expression and function analysis of DAX1 gene of scallop (*Chlamys farreri* Jones and Preston 1904) during its gametogenesis [J]. Journal of Ocean University of China,2014,13(4):696-704.
- [11] MA Y W,YE Y Y,YAO R H,et al. Transcriptome sequencing analysis of sex-related genes in the gonads of *Mytilus unguiculatus* [J]. Fishes,2023,8(9):456.
- [12] ZHANG J B,XIONG X W,DENG Y W,et al. Integrated application of transcriptomics and metabolomics provides insights into the larval metamorphosis of pearl oyster (*Pinctada fucata martensii*) [J]. Aquaculture, 2021,532(1):736067.
- [13] 徐凤山,张素萍.中国海产双壳类图志[M].北京:科学出版社,2008.
- [14] 李琪.中国近海软体动物图志[M].北京:科学出版社,2019.
- [15] 陆威.“北海象鼻螺”申报农产品地理标志[J].农家之友,2021(1):37.
- [16] THAI B T,LEE Y P,GAN H M,et al. Whole genome assembly of the snout otter clam, *Lutraria rhynchaena*, using Nanopore and Illumina Data, benchmarked against bivalve genome assemblies [J]. Frontiers in Genetics,2019,10:1158.
- [17] THAI B T,TAN M H,LEE Y P,et al. Characterisation of 12 microsatellite loci in the Vietnamese commercial clam *Lutraria rhynchaena* Jonas 1844 (Heterodontia: Bivalvia: Macridae) through next-generation sequencing [J]. Molecular Biology Reports, 2016, 43(5):391-396.
- [18] GAN H M,TAN M H,THAI B T,et al. The complete mitogenome of the marine bivalve *Lutraria rhynchaena* Jonas 1844 (Heterodontia: Bivalvia; Macridae) [J]. Mitochondrial DNA Part A, DNA Mapping, Sequencing, and Analysis,2016,27(1):335-336.
- [19] HAO D M,SY D T,TUYET D T A,et al. Distribution and density of *Lutraria rhynchaena* Jonas,1844 relate to sediment while reproduction shows multiple peaks per year in Cat Ba-Ha Long Bay, Vietnam [J]. Open Life Sciences,2020,15(1):721-734.
- [20] 邹杰,杨家林.弓懒蛤健康苗种繁育技术[J].科学养鱼,2013(1):43-44.
- [21] 郑淑雅,饶小珍,陈昭娜.弓懒蛤受精及早期卵裂过程核相变化的细胞学观察[J].福建师范大学学报(自然科学版),2014,30(1):98-103.
- [22] 何智能,巫冷蝉,王宏玲,等.弓懒蛤(*Lutraria arcuata*)的重金属富集特征及其对镉胁迫的生理响应[J].广西科学院学报,2023,39(2):169-178.
- [23] 于佐安,李大成,李华琳,等.感染“褐色沉积症”虾夷扇贝的外套膜转录组测序及差异表达基因分析[J].中国水产科学,2023,30(3):284-296.
- [24] TENG W,CONG R H,QUE H Y,et al. De novo transcriptome sequencing reveals candidate genes involved in orange shell coloration of bay scallop *Argopecten irradians* [J]. Journal of Oceanology and Limnology, 2018,36(4):1408-1416.
- [25] SUN X J,LI D M,LIU Z H,et al. De novo assembly of pen shell (*Atrina pectinata*) transcriptome and screening of its genic microsatellites [J]. Journal of Ocean University of China,2017,16(5):882-888.
- [26] 梁书东.纵肋织纹螺(*Nassarius variciferus*)性腺发育相关基因的筛选及胚胎发育研究[D].沈阳:沈阳农业大学,2021.
- [27] 连昌朋.钝缘锦蛤性腺发育和生殖周期、转录组学研究及形态性状对活体质量的影响分析[D].南宁:广西大学,2023.
- [28] DING J,ZHAO L,CHANG Y,et al. Transcriptome sequencing and characterization of Japanese scallop *Patinopecten yessoensis* from different shell color lines [J]. PLoS One,2015,10(2):e0116406.
- [29] CHANG T S. Natural melanogenesis inhibitors acting through the down-regulation of tyrosinase activity [J]. Materials (Basel),2012,5(9):1661-1685.
- [30] MAO J,ZHANG X,ZHANG W,et al. Genome-wide identification,characterization and expression analysis of the MITF gene in Yesso scallops (*Patinopecten yessoensis*) with different shell colors [J]. Gene, 2019, 688:155-162.
- [31] CAO W,DONG Y H,GENG Y S,et al. Comprehensive

- analysis of whole-transcriptome profiles in response to acute hypersaline challenge in Chinese razor clam *Si-nonovacula constricta* [J]. *Biology*, 2023, 12(1):106.
- [32] ZHAN J F, SUN T, WANG X H, et al. Meta-analysis reveals the species-, dose- and duration-dependent effects of cadmium toxicities in marine bivalves [J]. *Science of the Total Environment*, 2023, 859 (Pt 2): 160164.
- [33] ALLAM B, RAFTOS D. Immune responses to infectious diseases in bivalves [J]. *Journal of Invertebrate Pathology*, 2015, 131(12):121-136.

Study on Transcriptome Differences in Different Tissues of *Lutraria rhynchaena* Based on RNA-seq Sequencing

WANG Hongling^{1,2}, CHEN Kun², WU Bin², PAN Hongping¹, LIAO Xin^{2*}

(1. College of Animal Science and Technology, Guangxi University, Nanning, Guangxi, 530004, China; 2. Guangxi Key Laboratory of Mangrove Conservation and Utilization, Guangxi Academy of Marine Science (Guangxi Mangrove Research Center), Guangxi Academy of Sciences, Beihai, Guangxi, 536007, China)

Abstract: *Lutraria rhynchaena* is an important mariculture shellfish in the southern coast of China. In order to explore the differences in gene expression in different tissues of *L. rhynchaena*, RNA-seq sequencing technology was used to perform transcriptome sequencing and bioinformatics analysis on seven tissues (muscles, mantles, gills, hepatopancreas, siphons, female gonads and male gonads) of *L. rhynchaena* in the Beibu Gulf. The results showed that a total of 939 197 518 sequences after quality control were obtained from 21 samples, and the number of bases in each tissue was 15.39—29.26 G after quality control. A total of 56 773 Unigenes were obtained by Denovo assembly and ORF search. A total of 24 557, 13 094, 17 524, 10 352 and 13 857 valid annotations were obtained by comparing each annotation in five public databases NR (Non-Redundant protein sequence database)、GO (Gene Ontology)、eggNOG (evolutionary genealogy of genes: Non-supervised Orthologous Groups)、KEGG (Kyoto Encyclopedia of Genes and Genomes) and SWISS-Prot. In this study, a large number of differentially expressed genes between tissues of *L. rhynchaena* were obtained, and the gene database of *L. rhynchaena* was enriched, which provided basic data for a deeper understanding of the functions of various tissues of *L. rhynchaena*, and further exploration and development of functional genes of *L. rhynchaena*.

Key words: *Lutraria rhynchaena*; tissues; high throughput sequencing; transcriptome; bioinformatics analysis

责任编辑:陆 雁



微信公众号投稿更便捷

联系电话:0771-2503923

邮箱:gxkxyxb@gxas.cn

投稿系统网址:<http://gxkx.ijournal.cn/gxkxyxb/ch>